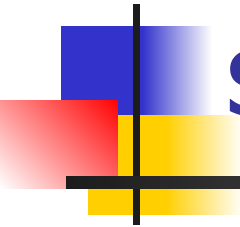
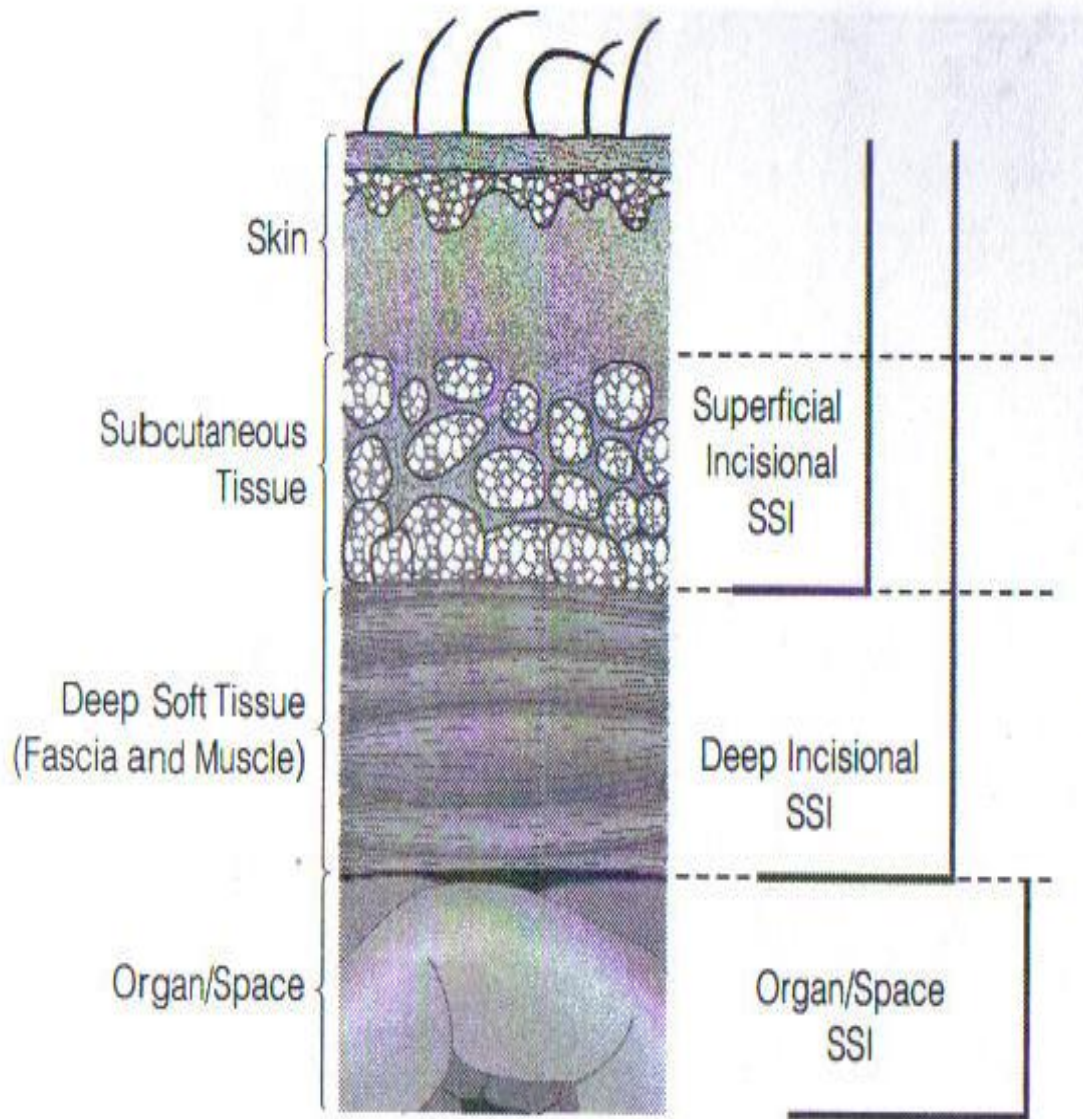
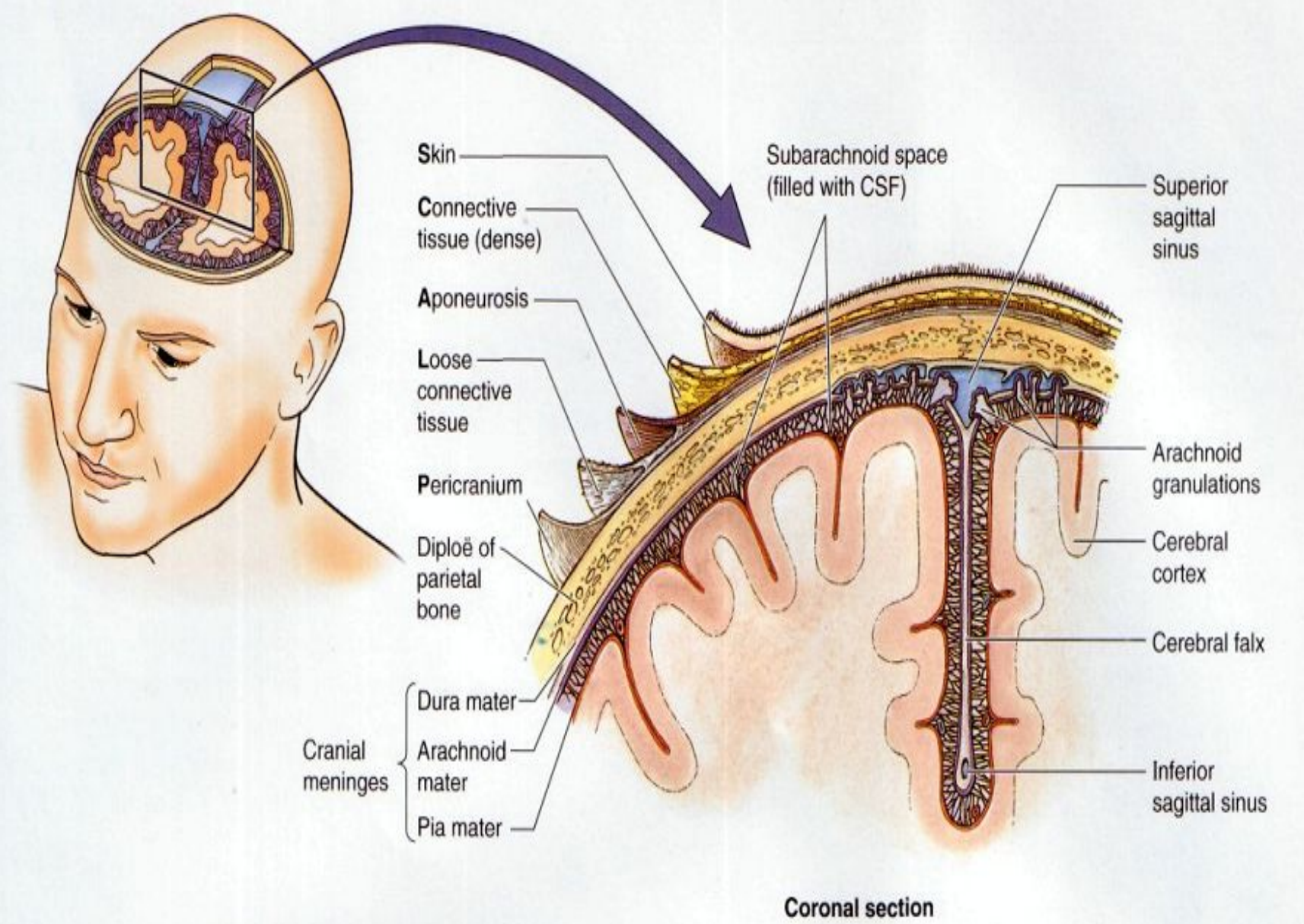


# Common principles of purulent surgery

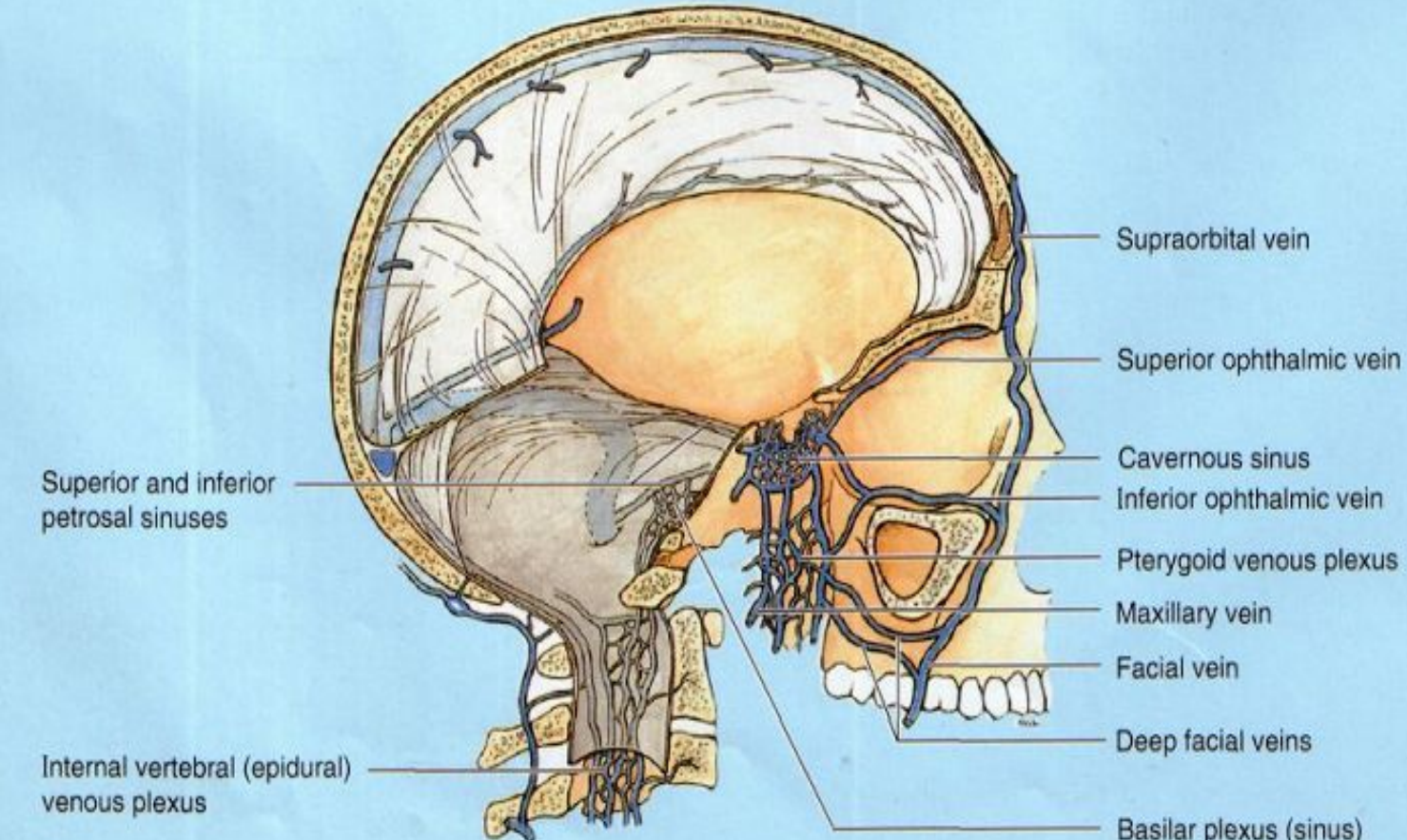




**Figure 2** Surgical site infections are classified into three categories, depending on which anatomic areas are affected.<sup>3</sup>



# Thrombophlebitis of the Facial Vein

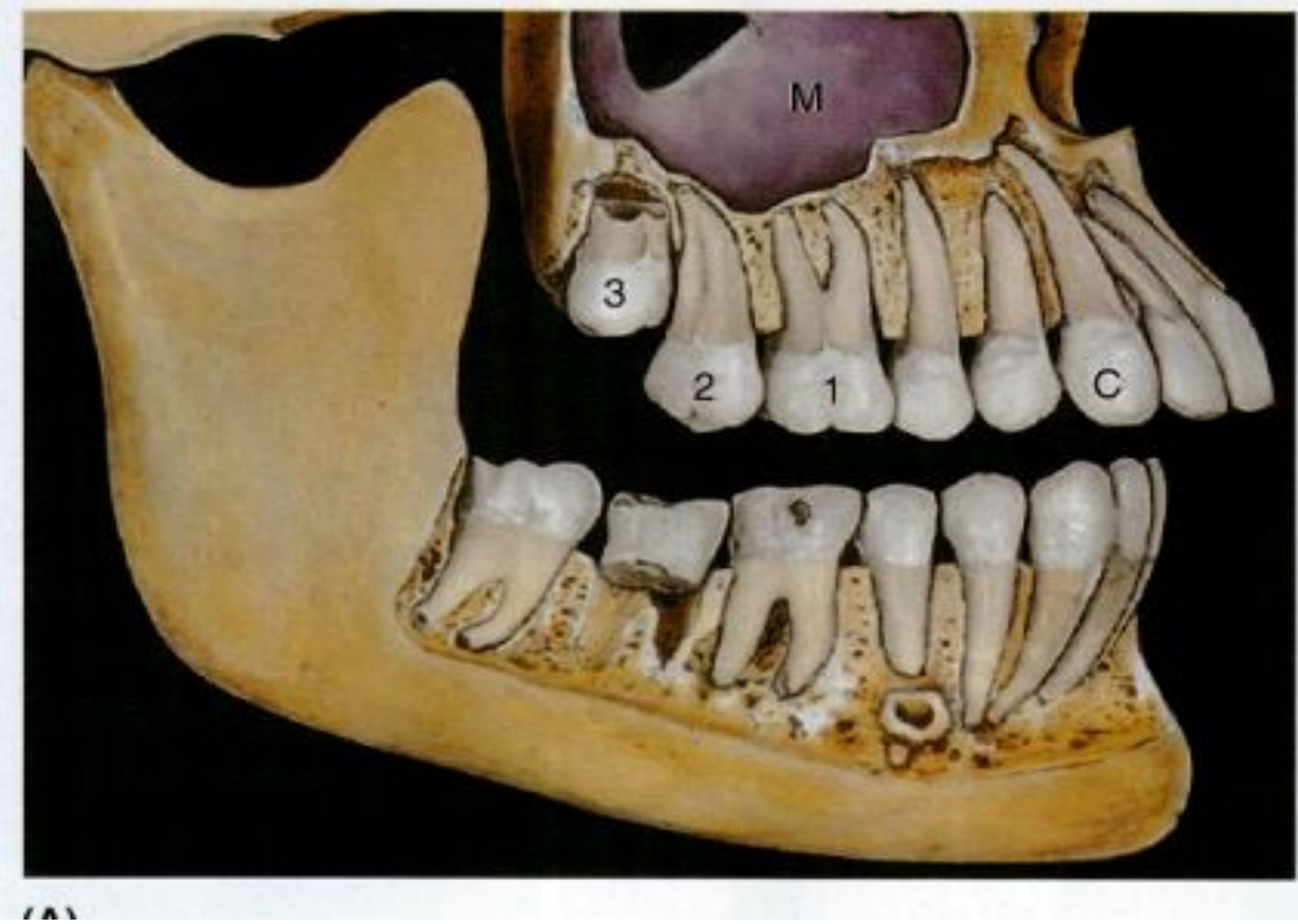


(A)

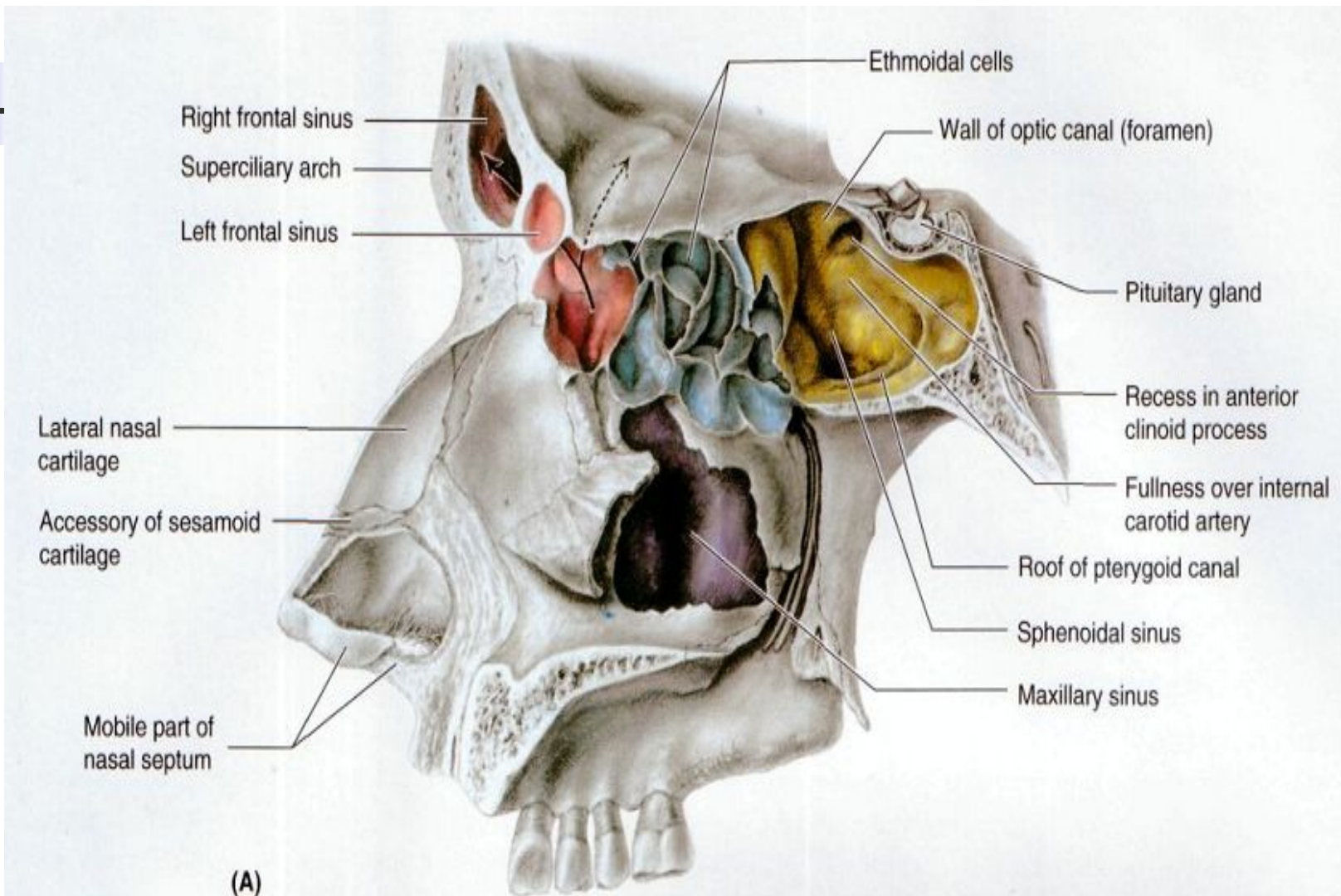


## Danger triangle of the face

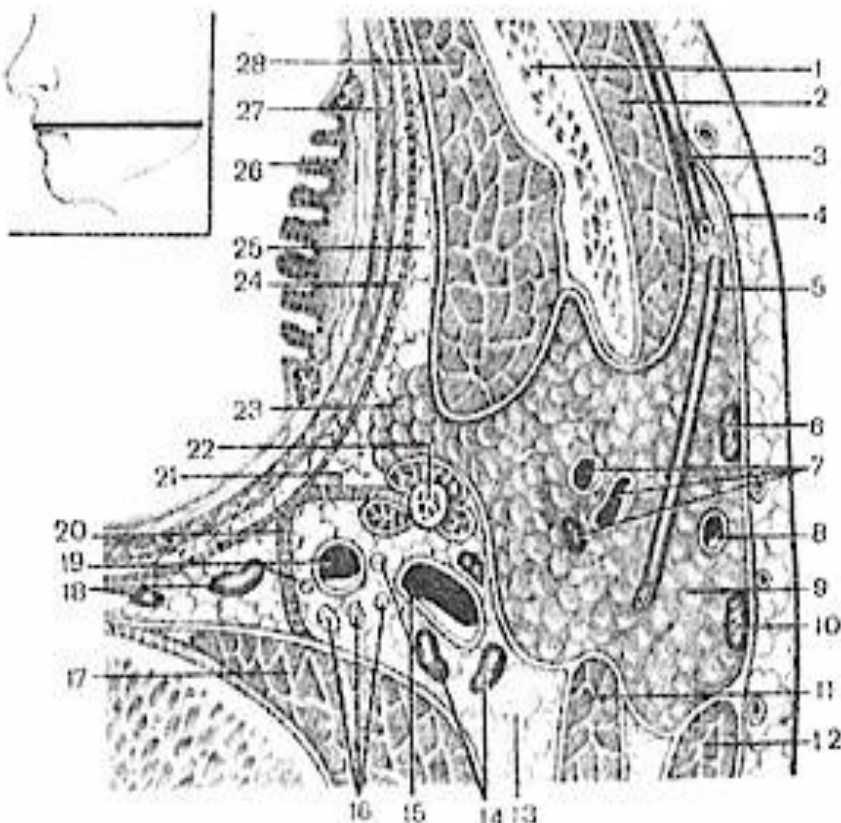




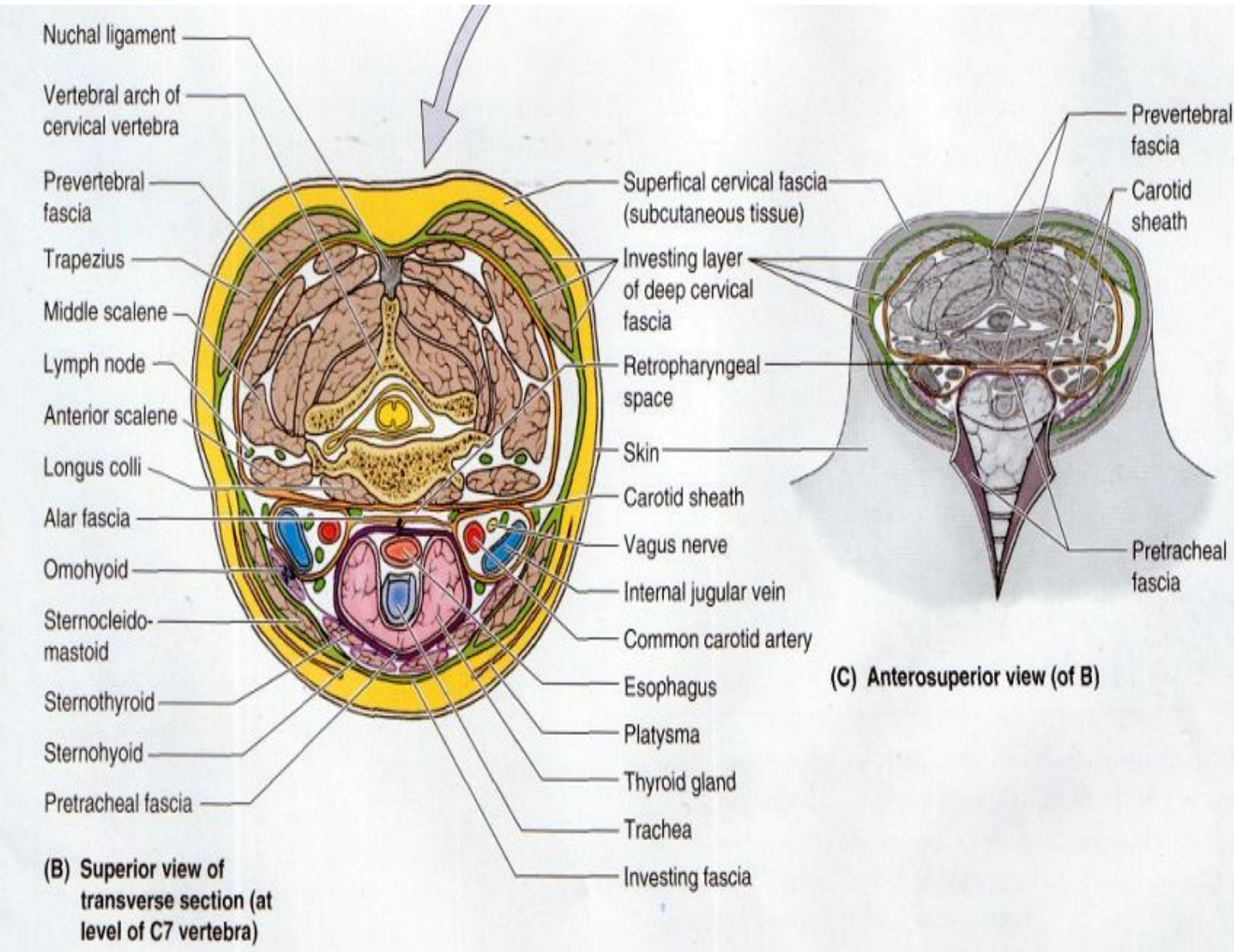
# Paranasal sinuses

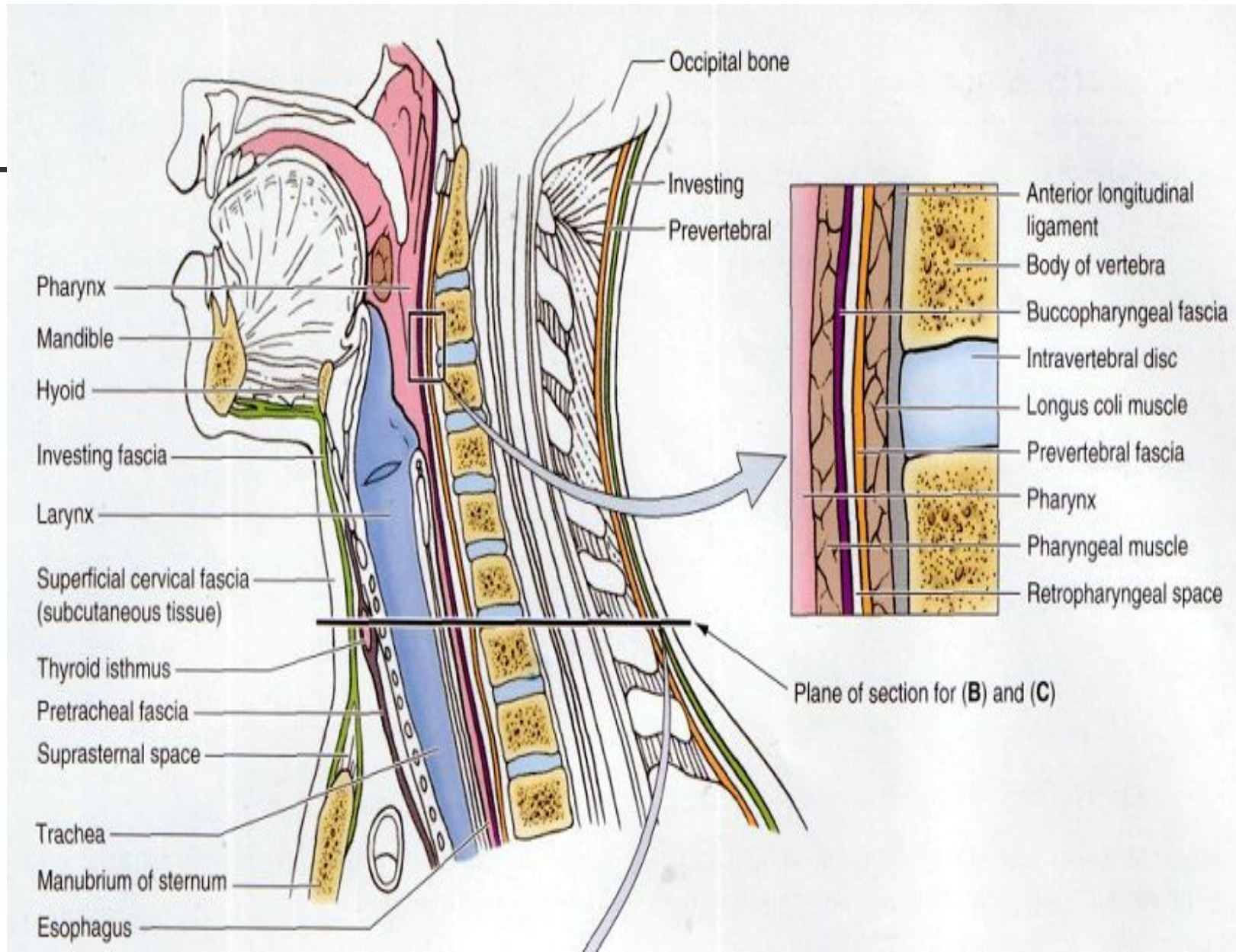


# Parapharyngeal space



- 1 — mandibula; 2 — m. masseter; 3 — ductus parotideus; 4 — fascia masseterica; 5 — n. facialis; 6, 10 — nodi lymphatici parotidei superficiales; 7 — a. facialis, v. retromandibularis и nodus lymphaticus parotideus profundus; 8 — v. jugularis externa; 9 — gl. parotis; 11 — m. digastricus; 12 — m. sternocleidomastoideus; 13 — задний отдел окологлоточного пространства; 14 — верхняя группа глубоких шейных лимфатических узлов; 15 — v. jugularis interna и n. glossopharyngeus; 16 — верхний шейный узел симпатического ствола, n. vagus и n. accessorius; 17 — предпозвоночные мышцы и покрывающая их предпозвоночная фасция; 18 — nodi lymphatici retropharyngeales и spatium retropharyngeum; 19 — a. carotis interna и n. hypoglossus; 20 — глоточно-позвоночный апоневроз (перегородка Шарли); 21 — шилоглоточный апоневроз; 22 — processus styloideus с начинающимися от него мышцами; 23 — глоточный отросток околоушной железы; 24 — глоточно-основной апоневроз; 25 — передний отдел окологлоточного пространства; 26 — tonsilla palatina; 27 — m. constrictor pharyngis superior; 28 — m. pterygoideus medialis.

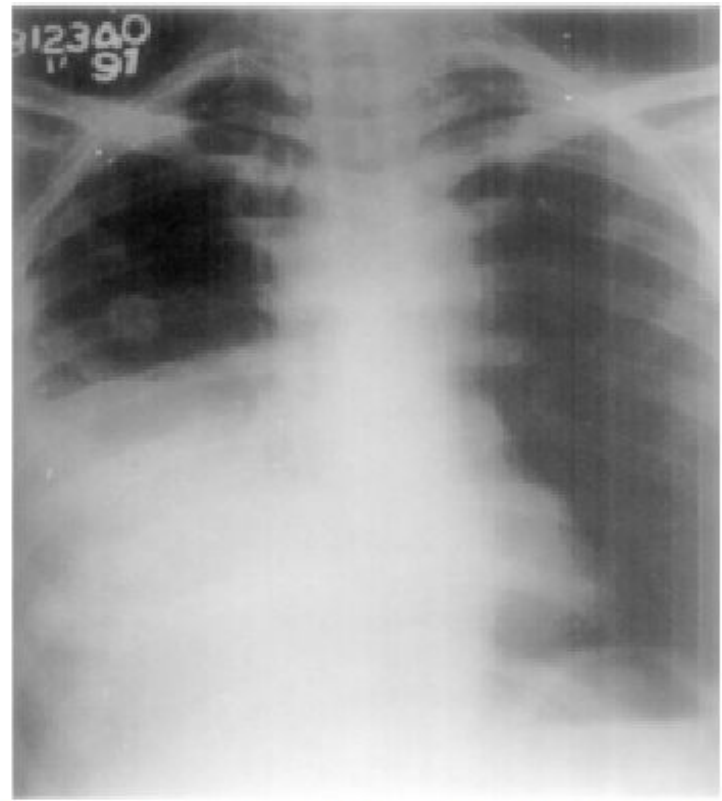




# Complications of retropharyngeal abscess



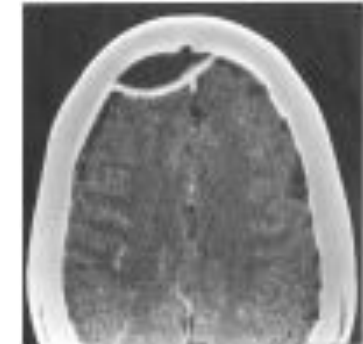
**Figure 1.** Radiograph of soft tissue neck (lateral view) showing air fluid level in the retropharyngeal space.

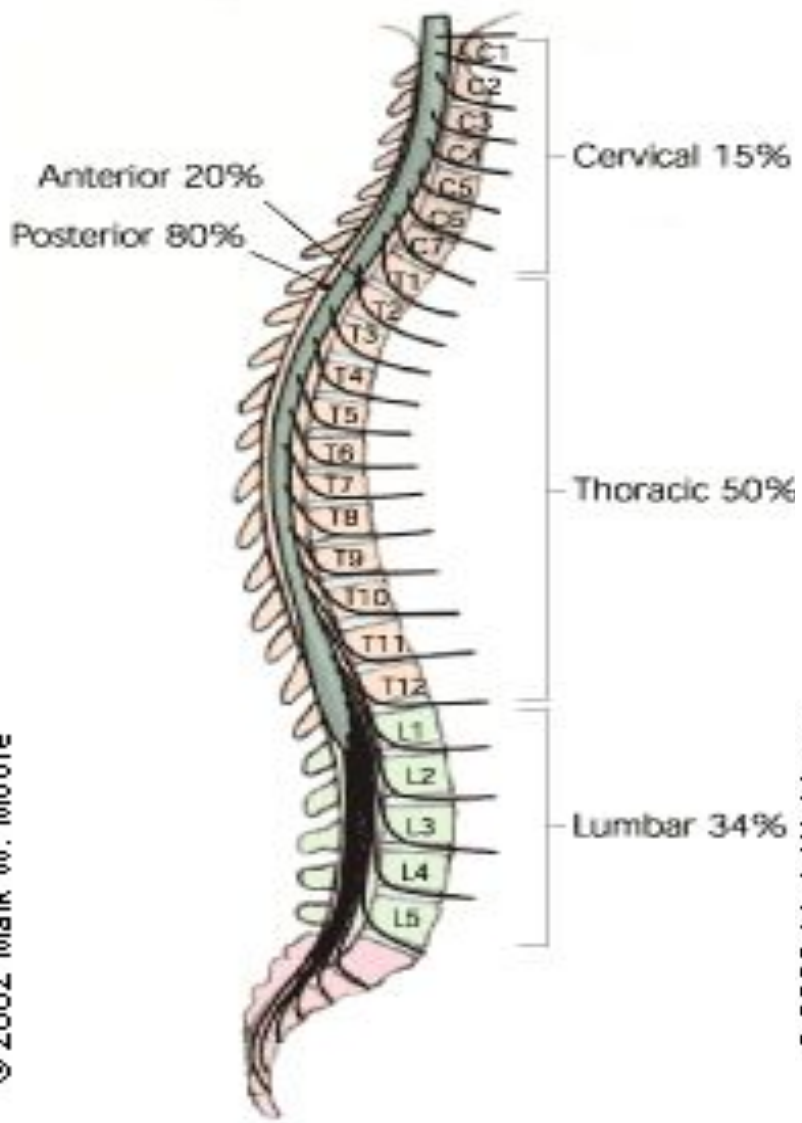


**Figure 2.** Chest radiograph (postero-anterior view) showing pyothorax in the right lower chest and mediastinum.

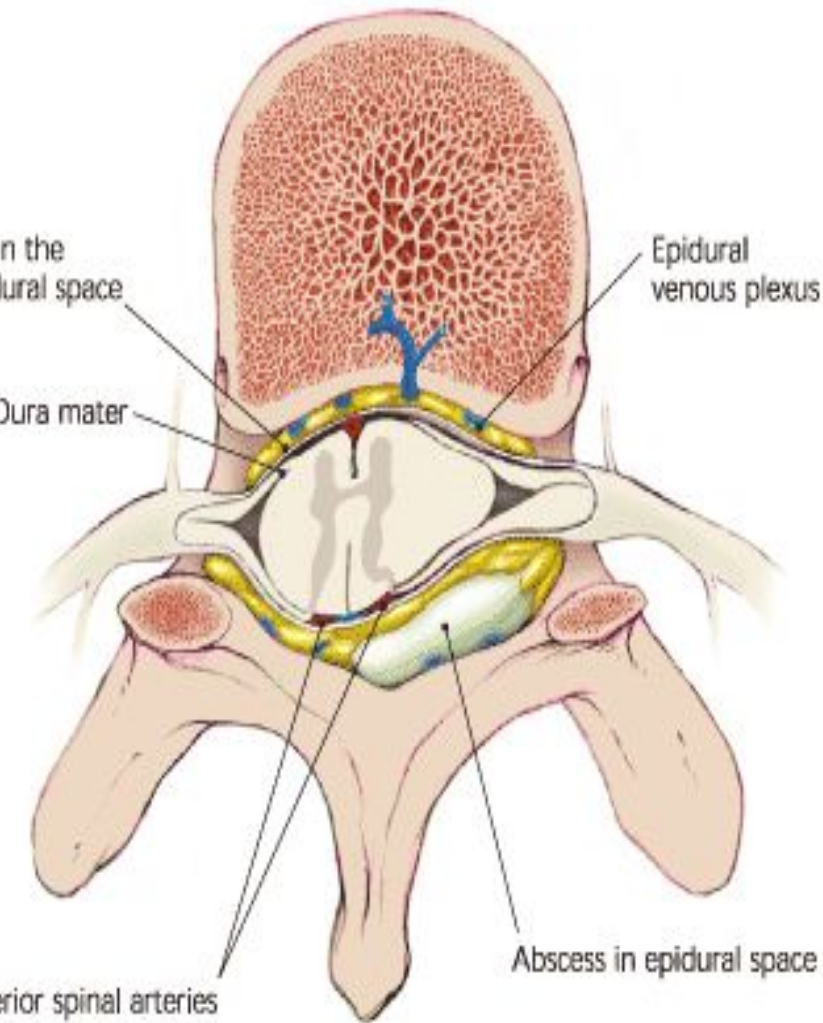
# EPTDURAL ABSCESSES

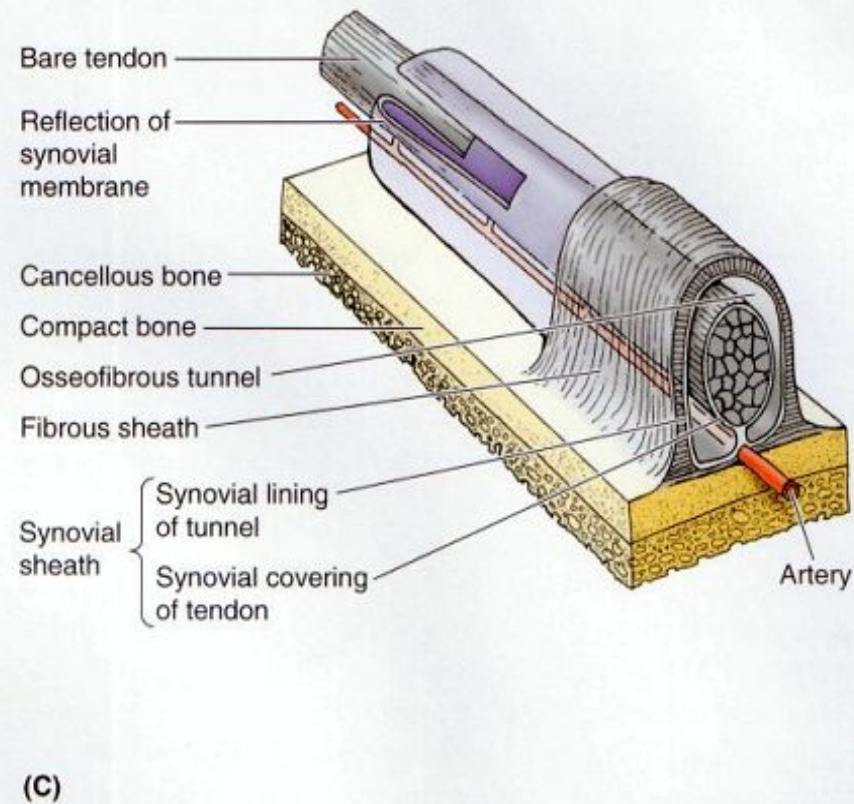
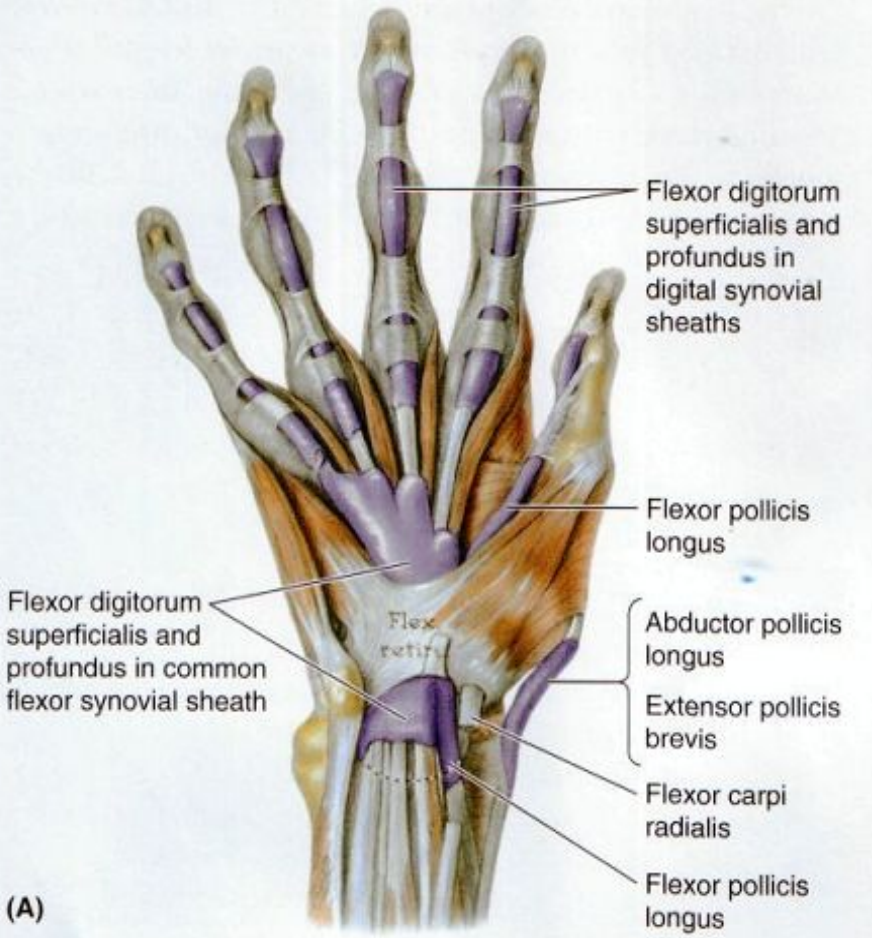
- Spinal > intracranial (9:1)
- Intracranially, the dura is adherent to bone
- True spinal epidural space is present posteriorly throughout the spine, thus posterior longitudinal spread of infection is common.
  - Anterior spinal epidural very rare (usually below L1 & cervical)





© 2002 Mark W. Moore





**Key**

■ Synovial sheath

Flexor digitorum profundus tendon

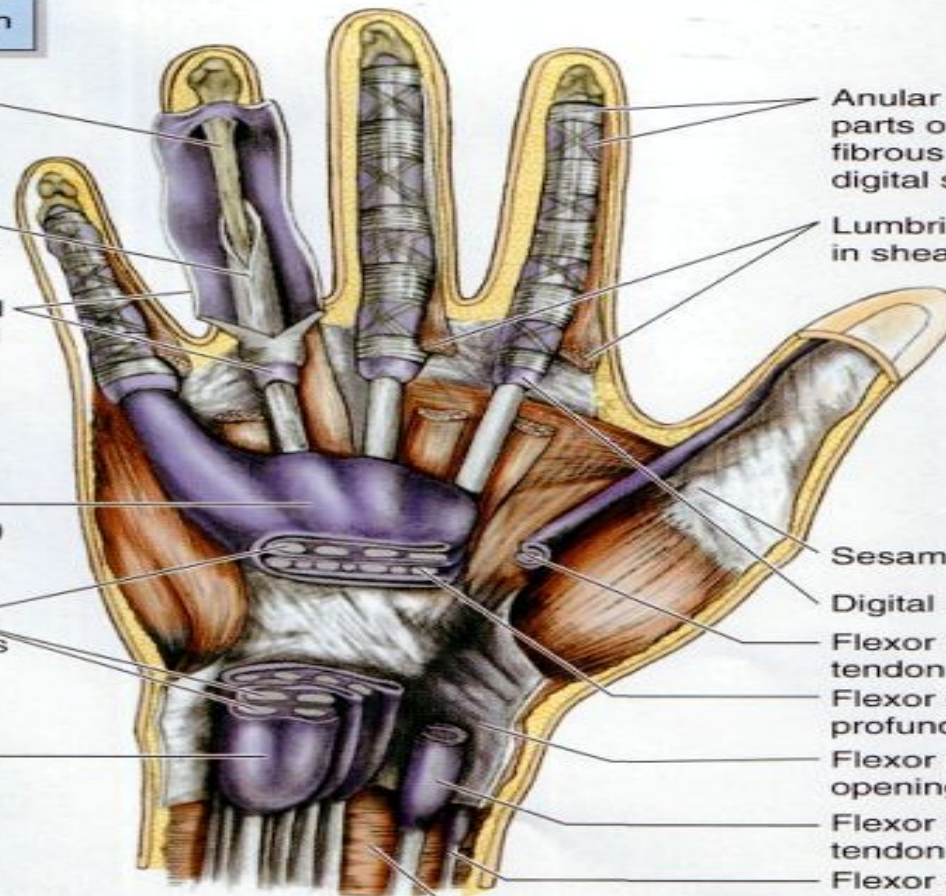
Flexor digitorum superficialis tendon

Fibrous flexor digital sheath and synovial sheath (opened)

Common flexor sheath (ulnar bursa)

Flexor digitorum superficialis tendons

Common flexor sheath



Anular and cruciform parts of digital fibrous sheath cover digital synovial sheath

Lumbrical muscles in sheaths (cut)

Sesamoid bone (deep)

Digital synovial sheath

Flexor pollicis longus tendon in synovial sheath  
Flexor digitorum profundus tendons

Flexor retinaculum (cut, opening carpal tunnel)

Flexor pollicis longus tendon in synovial sheath  
Flexor carpi radialis tendon

Pronator quadratus muscle

(B)

# Whitlow types



1



2



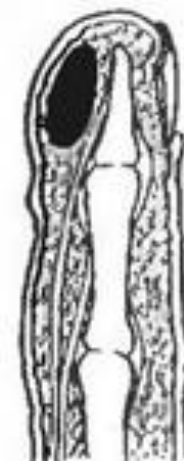
3



4



5



6



7



8



9



10



11



12

**FireAiD** - все по  
медицине.

**FireAiD** - все по  
медицине.

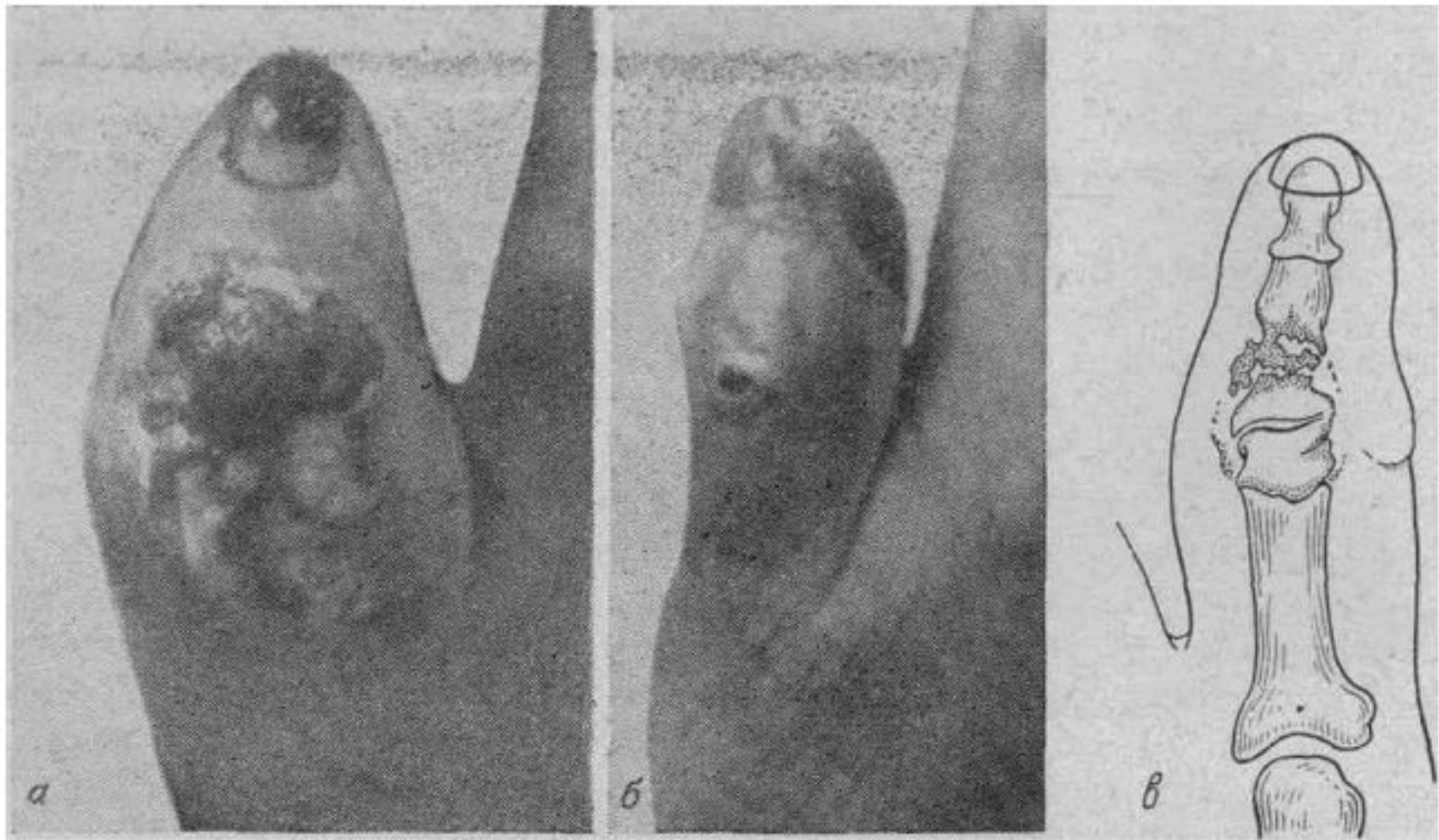
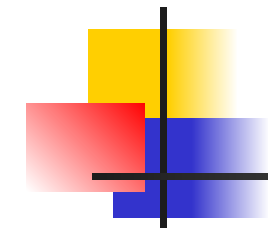
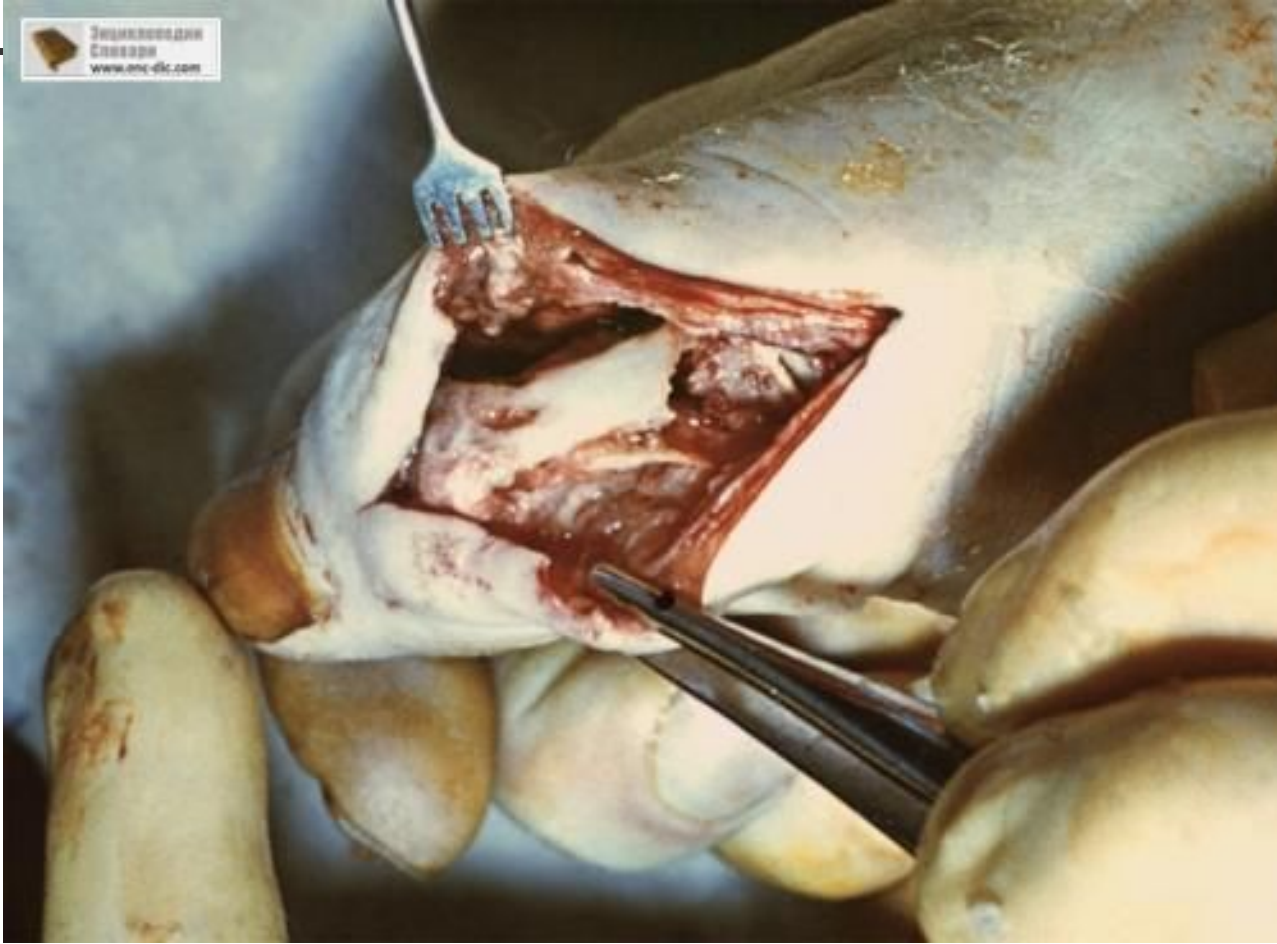


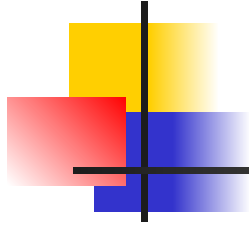
Рис 30 Пандактилит I пальца правой кисти

*а* — вид пальца до операции *б* — вид кисти после снятия гипсовой повязки *в* — схема рентгенограммы

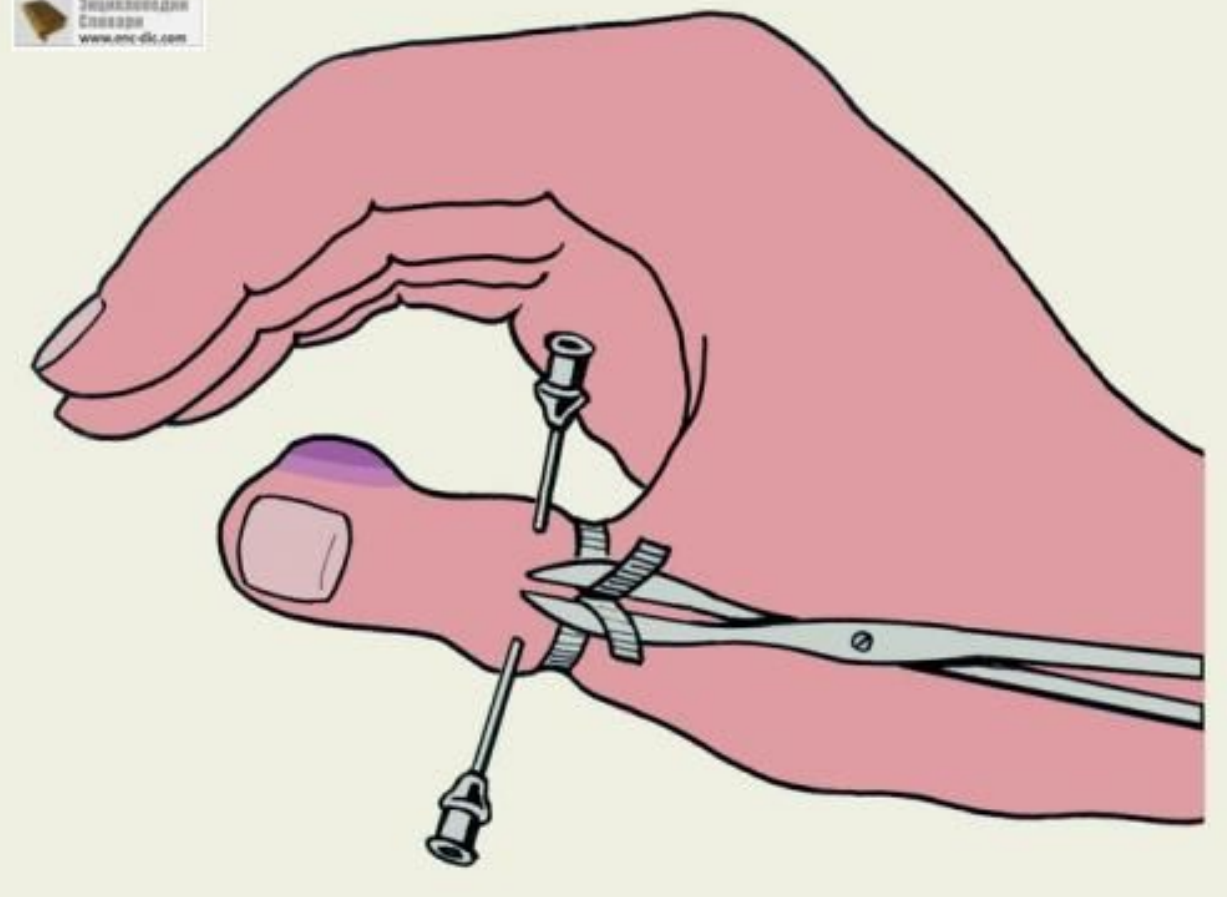


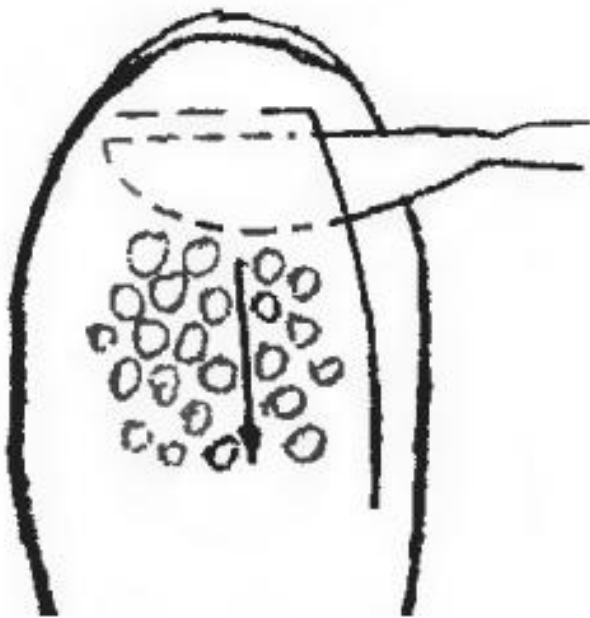


Энциклопедия  
Спинары  
[www.onc-dk.com](http://www.onc-dk.com)









**FireAiD** - все по  
медицине.

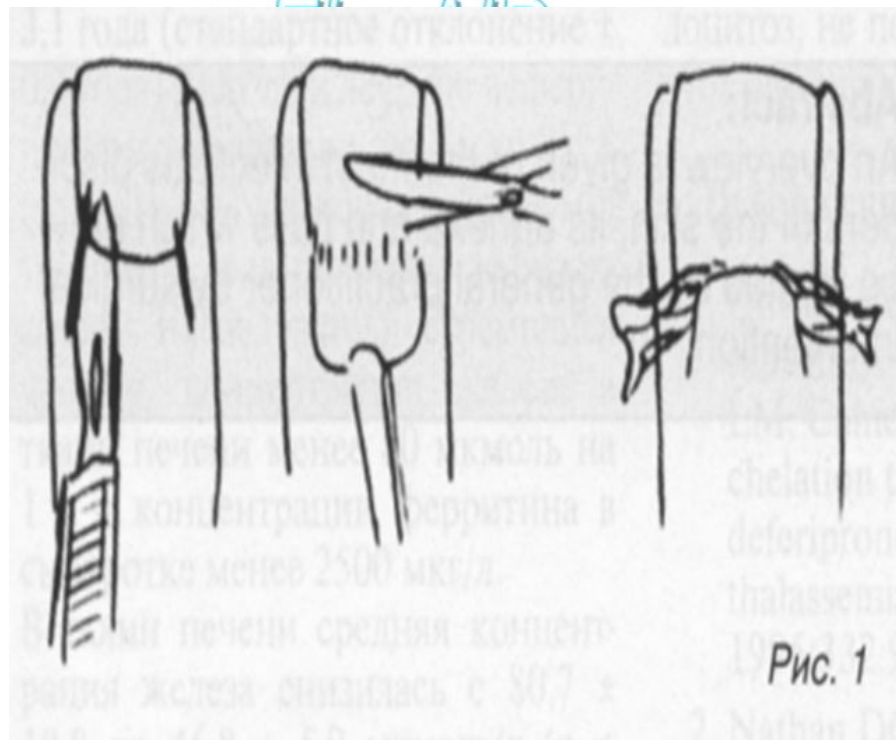
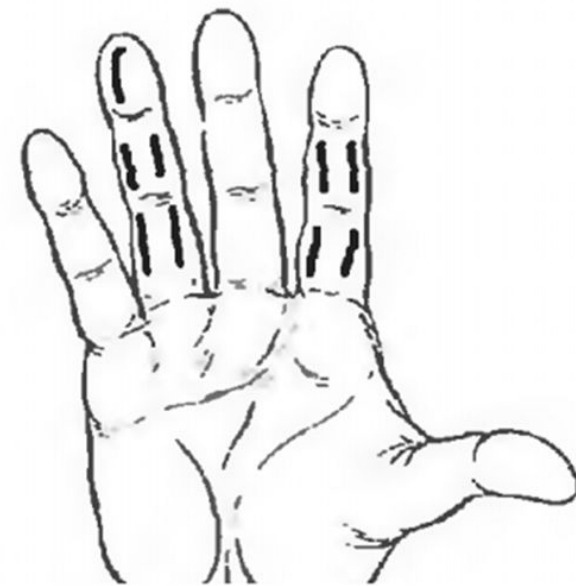
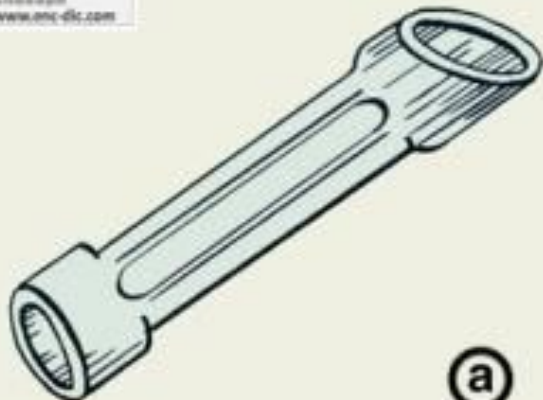
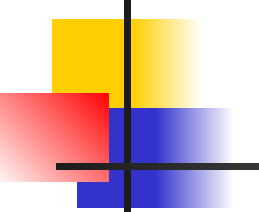


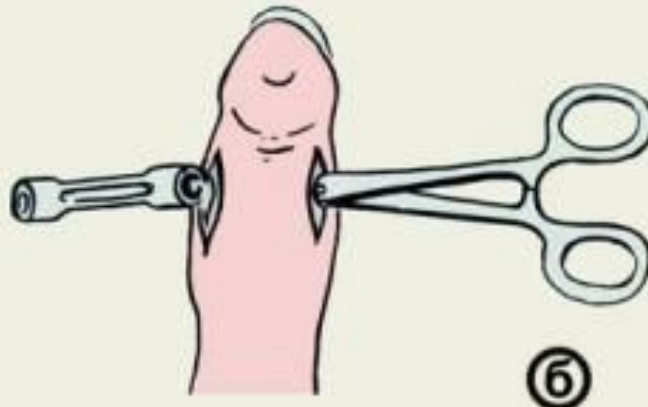
Рис. 1



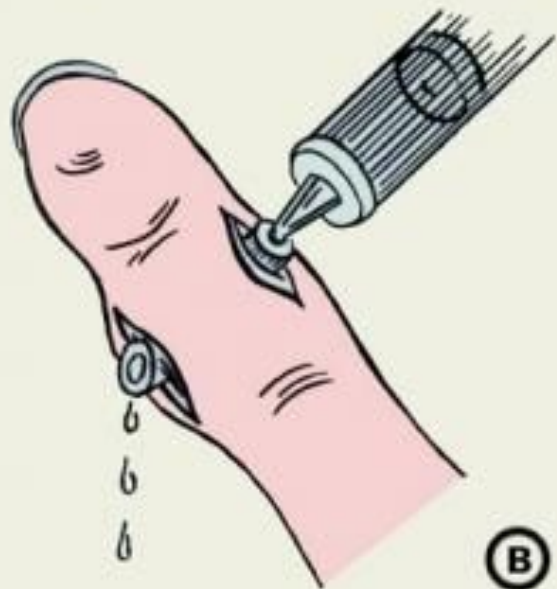
Рис. 12. Схема операции паронихии.  
а — в толще ногтевого валика; б — операция Кеневела.



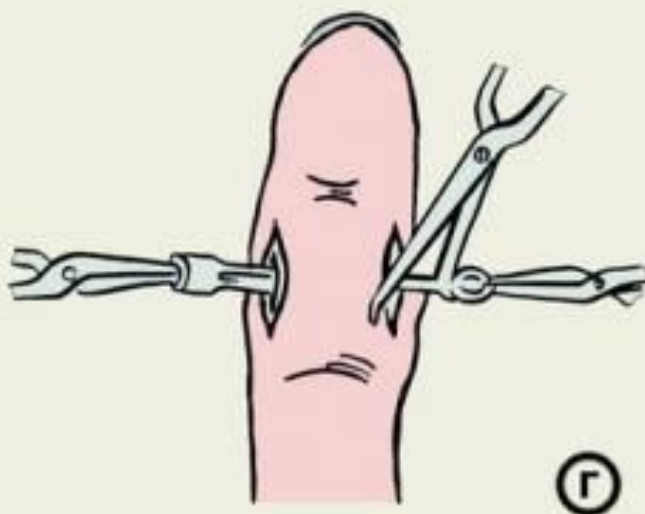
Ⓐ



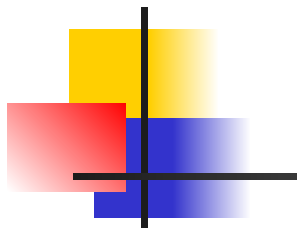
Ⓑ



Ⓒ



Ⓓ

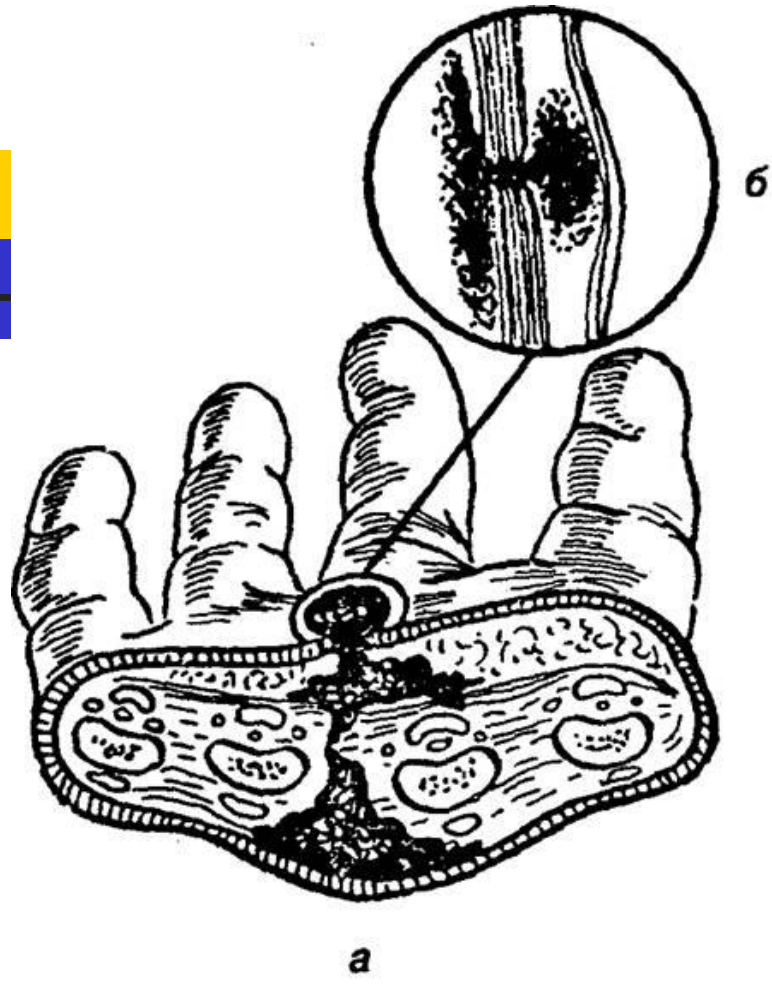


# Incisions



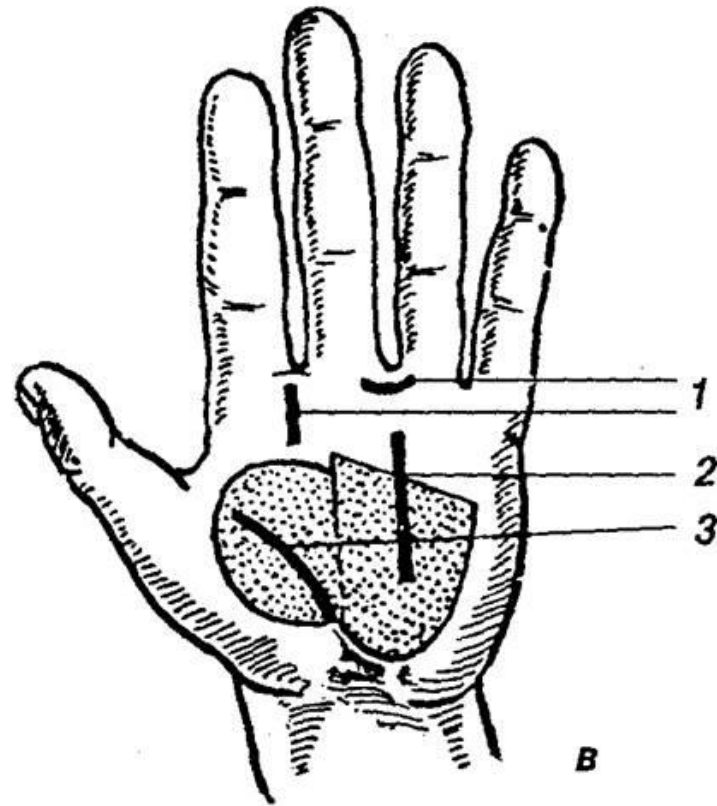
# Phlegmons of the hand





*a*

*б*



*в*

Рис. 3.11. Схема путей распространения инфекции при комиссуральной флегмоне (а, б) и разрезов кожи при флегмонах кисти (в):

1 — при комиссуральных флегмонах; 2 — при флегмоне среднелатерального пространства; 3 — при флегмоне возвышения большого пальца

# forearm

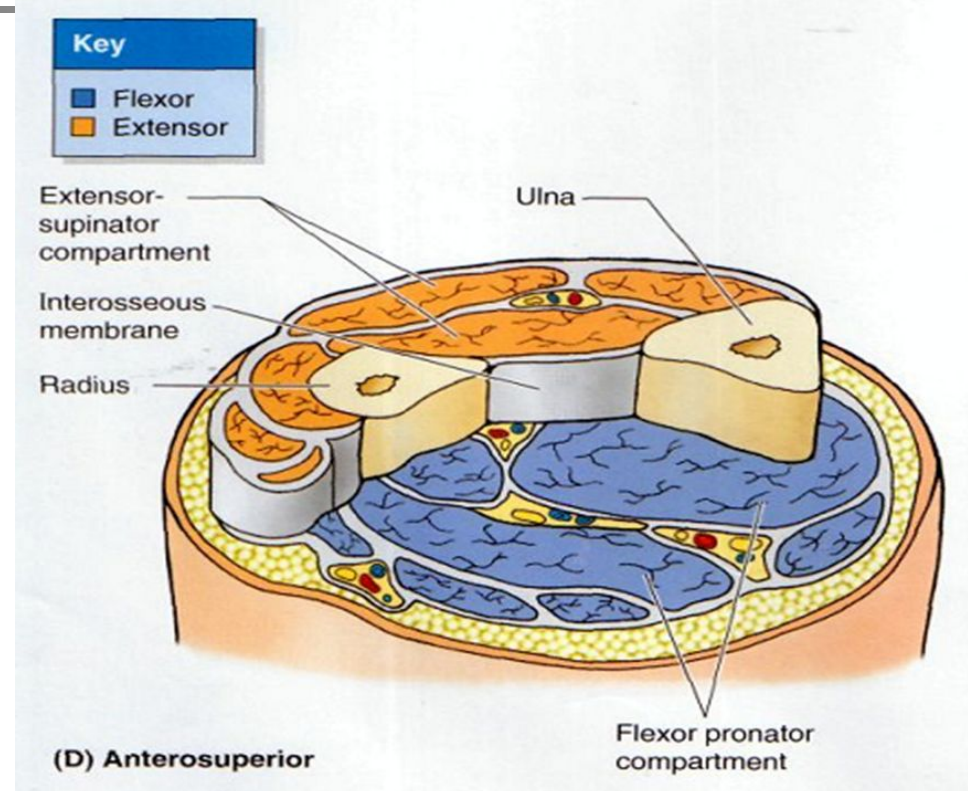
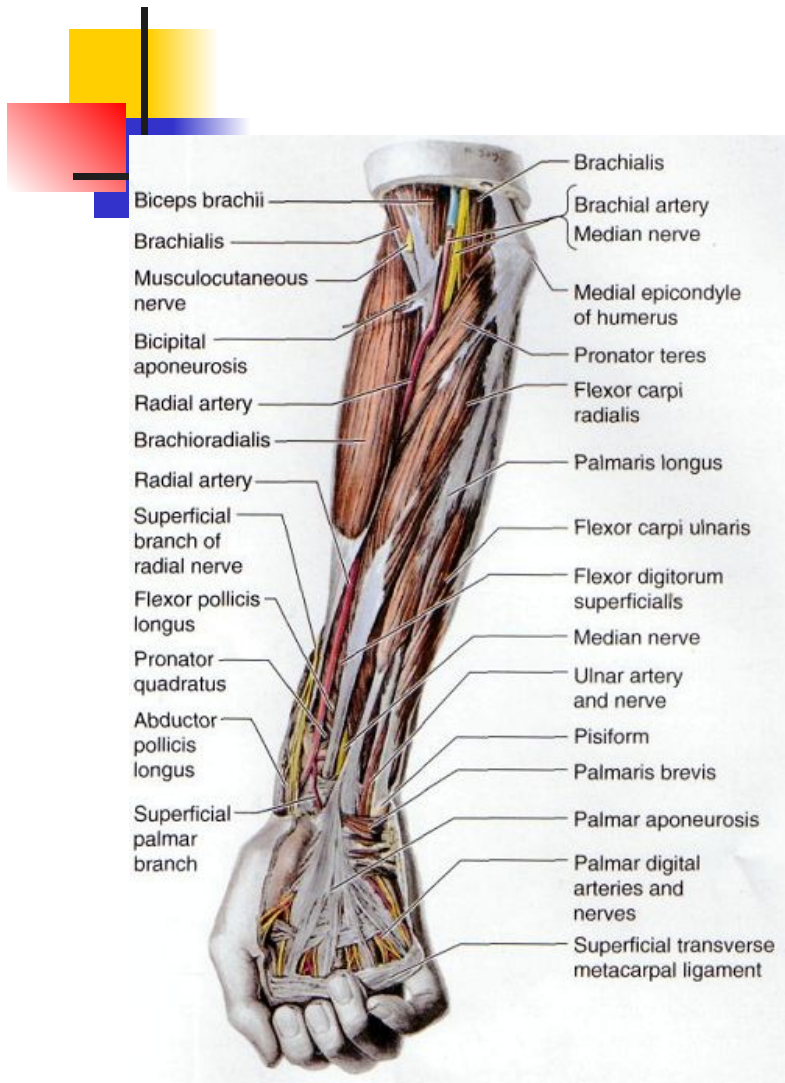
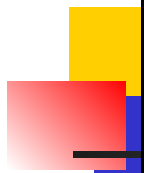




Рис. 3. Газовая гангрена левой верхней конечности после введения  
“Коаксила” в кубитальную вену.

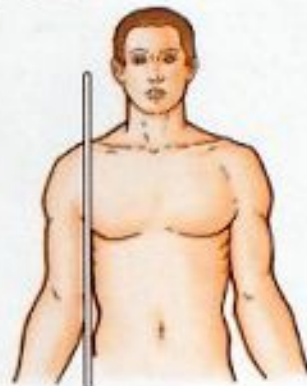
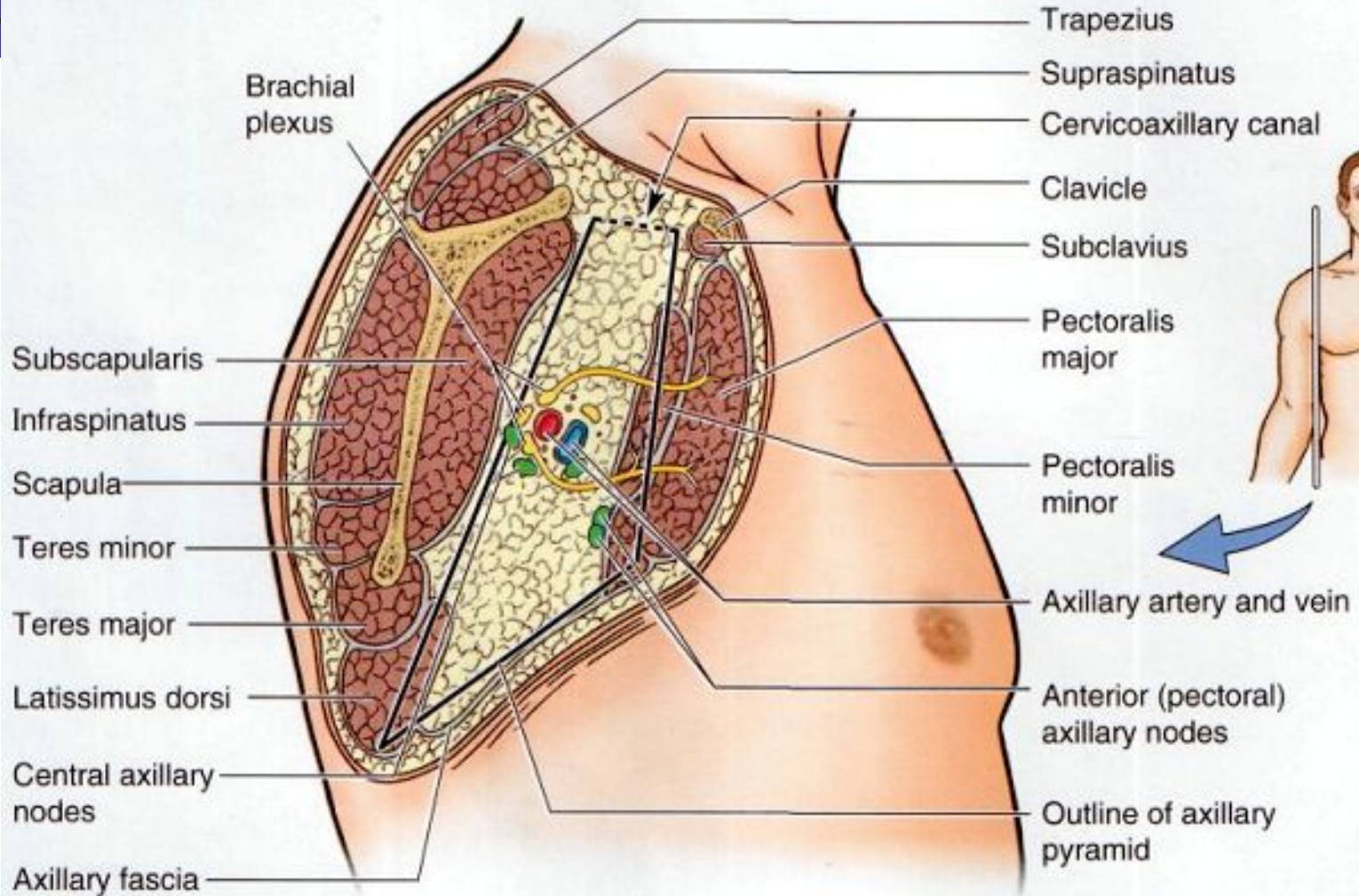


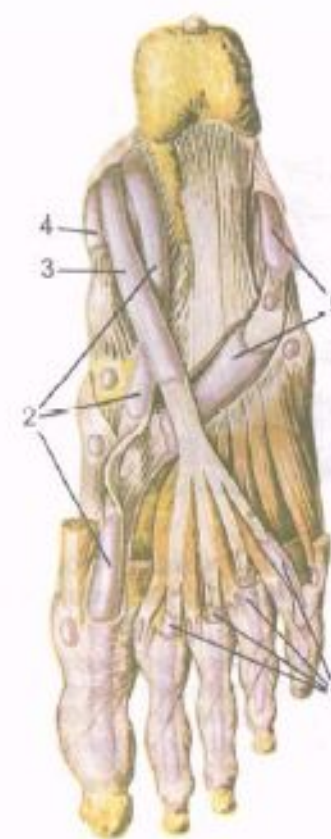
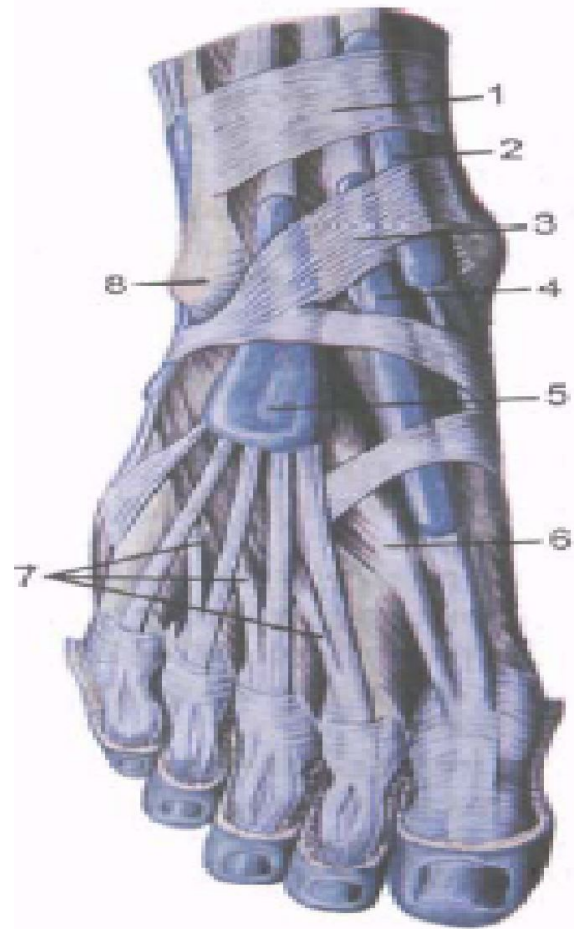
Рис. 4. Тот же больной вид с другой стороны. В дальнейшем конеч-  
ность ампутирована





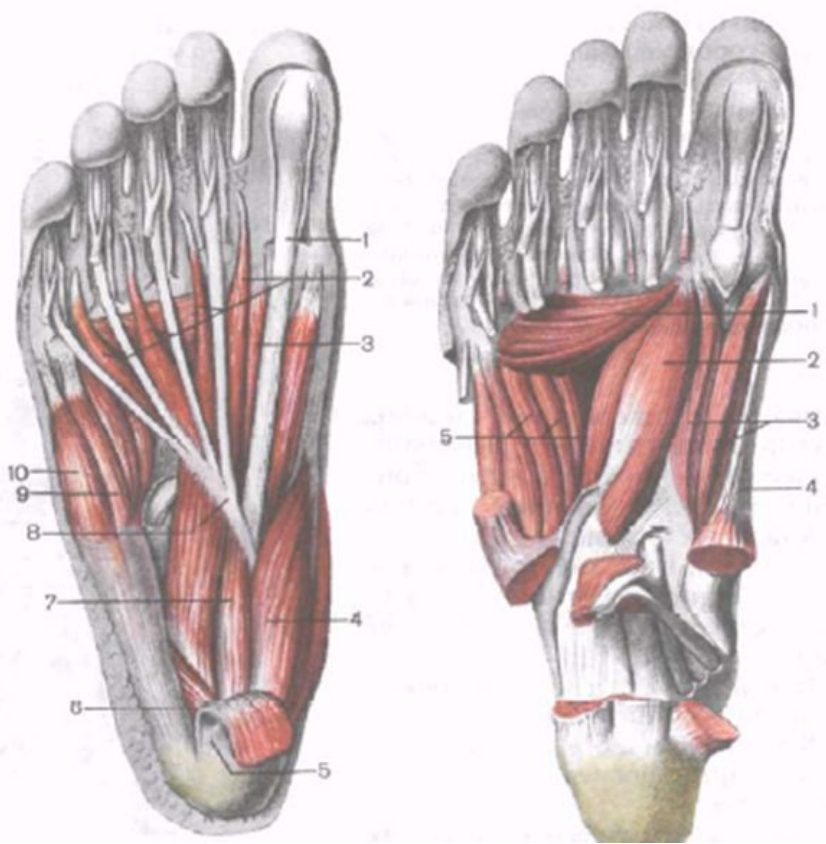
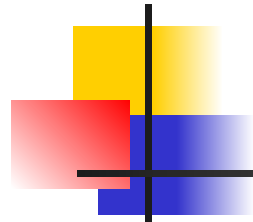
28

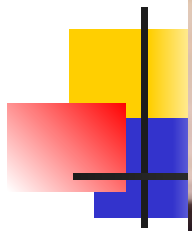






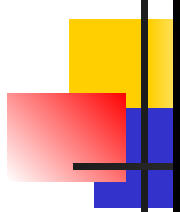
©Diabetes Centre, RPAH













© ADAM

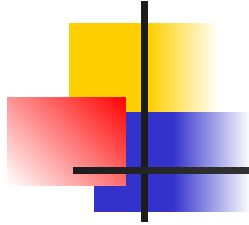




Рис. 1. Анаэробная неклостридиальная флегмона левого бедра, сепсис после введения "Коаксила" в вены бедра



Рис. 2. Тот же больной. Обширная гноино-некротическая рана бедра после проведенной хирургической обработки, некротический миозит.

